

( $\Gamma = \text{タリ}$ ) - 鏡映群に付随 (E, 孤立特異点) の変形.

埼玉大・理 矢野 環

A, D, E 型鏡映群の判別式が, ある種の孤立特異点の versal な変形の判別式と同一視されることはよく知られている。以下ではすべての Coxeter 群 (A, B, D, E, F, G, H, I<sub>2</sub>) なる  $V$  に, 多くの  $\Gamma = \text{タリ}$  - 鏡映群について, その判別式を自然な方法で, 孤立特異点の変形の判別式として与える。

§ 1. 有限  $\Gamma = \text{タリ}$  - 鏡映群 (u.g.s.r.)

記号.  $V \cong \mathbb{C}^m$   $m$ -次元ベクトル空間.

$G$ :  $GL(V)$  の有限部分群.

Def. 1.  $g \in GL(V)$  が (unitary) reflection であるとは,

1.  $\exists e \geq 1, g^e = I_V$ , かつ 2.  $\text{rank}(I_V - g) = 1$ . //

このより  $g$  は semi-simple で固有値は  $(\underbrace{1, 1, \dots, 1}_{m-1}, \rho)$   $\rho \in \mathbb{C}$  となり,  $\rho$  は  $\pm 1$  の巾根である.  $\rho = -1$  の時  $g$  は reflection とよぶ.  $\rho \neq -1$  の時  $g$  の固定する部分空間を  $H_g$  とする.

$$H_g = \text{Ker}(I_V - g).$$

Def. 2.  $GL(V) \supset G$  が u.g.g.r. (unitary group generated by reflections) であるとは,  $G$  が unitary reflections で生成されることをいふ. //

特に reflection で生成されるものは, 有限 Coxeter 群である.

$S(V)$  は  $V$  の symmetric algebra ( $S(V^*)$  は  $V^*$  (dual) の...)

$S(V)^G, S(V^*)^G$  は  $G$ -不変元となる部分環とする.

Thm. 3. (Shepherd-Todd) 次の 3 つは同値.

1.  $G$  は u.g.g.r. である.
2.  $S(V)^G$  ( $S(V^*)^G$ ) は  $n$  変数  $n$  変数  $n$  変数の多項式環である.
3.  $G$  は分類表  $[E/F]$  にあるものの群の直積に同型. //

分類表は 3 つの無限系列 (No.1 =  $A_n$ , No.2 =  $G(n, p, l) \ 1 \leq p \leq n$ ,

No.3 = (generated by  $\exp(\frac{2\pi i}{r})$ )) と 34 個の, 個別の群からなる.

Thm 3. の 2. より, 写像  $\mathbb{C}^n \simeq V \rightarrow V/G \simeq \mathbb{C}^m$  を得る.

写像  $V/G$  は  $\#G$  枚の  $U H_g \subset \mathbb{C}^n \simeq V \xrightarrow{S(V^*)}$   
 $\downarrow \text{g.ref.}$   $\downarrow$   $\downarrow$   $\uparrow$   
 $\# \{ \Delta_G = 0 \} \subset \mathbb{C}^m \simeq V/G \xrightarrow{S(V^*)^G}$   
 ramified covering である.

Def. 4. 写像  $V/G$  の critical set ( $\subset V/G$ ) ~~は  $G$~~  は

射影空間の合併  $\bigcup_{g \in G} H_g$  の像である. これは超曲面であり,

$\Delta_G$  の定義式 ~~は  $\Delta_G$~~   $G$  の判別式と  $\Delta_G$  とある. //

$H_g$  の定義方程式は  $h_g$ ,  $H_g$  を不変にする  $G$  の部分群の位数 ~~は  $l_g$~~   $l_g$  とすれば,  $\Delta_G = \prod h_g^{l_g}$ .

又,  $V$  の座標系  $(\xi_1, \dots, \xi_m)$ ,  $S(V^*)^G$  の適当な homogeneous 生成元  $P_1, \dots, P_m$  を与えれば (i.e.  $S(V^*)^G \simeq \mathbb{C}[P_1, \dots, P_m]$ )

$$\frac{\partial (P_1, \dots, P_m)}{\partial (\xi_1, \dots, \xi_m)} = \prod h_j^{e_j-1}$$

§ 2. 孤立特異点の変形. 単純特異点の変形の判別式.

~~$(\mathbb{C}^{n+1}, 0)$~~   $\xrightarrow{\lambda, (x_0, \dots, x_n)}$   $f \in \mathcal{O}_{\mathbb{C}^{n+1}, 0}$ .  $S = (\mathbb{C}^m, 0) \ni (t_1, \dots, t_m)$

$f: \mathbb{C}^{n+1}, 0 \rightarrow \mathbb{C}, 0$  は原点を孤立特異点とするとする.

$f$  の  $S$  を parameter space とする変形  $f_t$  を与える  $T$  とし,

$f$  の local 定義式  $F(x, t) = 0$  とする.

$$t' = (t_1, \dots, t_{m-1})$$

$$F(x, 0) = f(x). \quad F(x, t) = t_m + F_1(x, t') \text{ の形を仮定する.}$$

$$X = \{ (x, t) \in \mathbb{C}^{n+1} \times S \mid F(x, t) = 0 \} \text{ とおく.}$$

$$C = \{ (x, t) \in X \mid \frac{\partial F}{\partial x_i} = 0, 0 \leq i \leq n \}.$$

$$C \subset X^{n+m} (x, t)$$

$C$  の像を  $D$  とする.

$$\downarrow \pi \downarrow \downarrow$$

$$\text{適当な条件のもとで, } D \text{ は } S \text{ の } \{d_F=0\} \text{ } D \subset S^m (t', -F_1(x, t'))$$

hypersurface となる. ( $D = \{t \in S \mid \pi^*(t) : \text{singular}\}$ )

Def. 5  $D$  の定義式  $\Delta_F$  を変形  $F$  の判別式とよぶ.

特別な  $F$  に対しては,  $\{\Delta_F=0\} \subset S^m$  は §1 の  $\{d_G=0\} \subset V/G$

と同一視される.

例 (A, D, E 型など)

Def. 6  $W = A_e, D_e, E_e, E_7, E_8$  とする. 下記の函数

$f_W$  は  $W$  型の特異点を与える. (原点を孤立特異点)

$$f_{A_e} = x^{e+1} + y^2, \quad f_{D_e} = x^{e-1} - xy^2 + z^2, \quad f_{E_6} = x^4 + y^3 + z^2$$

$$f_{E_7} = x^3y + y^3 + z^2, \quad f_{E_8} = x^5 + y^3 + z^2.$$

この \$f\$ の変形 \$f\$ の versal 変形は下記通り.

$$F_{A_2} = f_{A_2} + \sum_{i=2}^{l+1} t_i x^{l+1-i} \quad F_{D_2} = f_{D_2} + \sum_{i=1}^{l-1} t_{2i} x^{l-1-i} + 2t'_2 y$$

$$F_{E_6} = f_{E_6} + t_2 x^2 y + t_5 x y + t_6 x^2 + t_8 y + t_9 x + t_{12}$$

$$F_{E_7} = f_{E_7} + t_2 x y^2 + t_6 y^2 + t_8 x y + t_{10} x^2 + t_{12} y + t_{14} x + t_{18}$$

$$F_{E_8} = f_{E_8} + t_2 x^3 y + t_8 x^2 y + t_{12} x^3 + t_{14} x y + t_{18} x^2 + t_{20} y + t_{24} x + t_{30} //$$

Theorem 6 (Brieskorn, Arnold etc.)

A, D, E 型 Weyl 群の判別式 \$\forall W \supset \{\Delta\_W = 0\} \simeq\$

A, D, E 型 孤立特異点の versal 変形の判別式

\$S \supset \{\Delta\_{F\_W} = 0\} \simeq\$ (2 種別) は 1) 型 \$\tau\$ あり. (global) //

(No. 27-4p)

u.g.g.r. の分類表 \$\tau\$ は \$A\_2 \simeq \text{No. 1}, D\_2 \simeq G(2, 2, l), E\_6 \simeq \text{No. 35}\$

\$E\_7 \simeq \text{No. 36}, E\_8 \simeq \text{No. 37}\$ \$\tau\$ あり. \$\tau\$ は, (Coxeter 群 \$\tau\$ あり)

\$\tau\$ のほかに \$B\_2 \simeq G(2, 1, l)\$, \$F\_4 \simeq \text{No. 34}, G\_2 = G(6, 6, 2)\$

\$H\_3 \simeq \text{No. 23}, H\_4 \simeq \text{No. 28}, I\_2(m) \simeq G(m, m, 2)\$ \$\tau\$ あり.

Thm 7. (Arnold, Slodowy etc.) \$F\$ 型の変形 \$F\_W\$ の判別式は

\$W\$ 型 Coxeter 群の判別式 (1) 型. \$W = B\_2, F\_4, G\_2, (C\_l)\$

$$F_{B_2} = f_{A_{2l-1}} + \sum_{i=1}^l t_{2i} x^{2l-2i}, \quad F_{C_l} = f_{D_{2l+1}} + \sum_{i=1}^l t_{2i} x^{l-i}$$

$$F_{F_4} = f_{E_6} + t_2 x^2 y + t_6 x^2 + t_8 y + t_{12}$$

$$F_{G_2} = x^3 + y^3 + t_2 x y + t_6 //$$

## § 3. Coxeter 型 deformation.

Th. 6.7 では Coxeter 群  $H_3, H_4, I_2(m)$  が含まれて  
いる。これらの群に対しても、標準的な方法によって、  
孤立特異点の変形の判別式と同一視する。

Thm. 8. ([2])  $W = H_3, H_4, I_2(m)$  に対して、次の変形を  
考える。

$$F_{H_3} (x, y) = f_{D_6} + s_2 x^4 + \frac{7}{20} s_2^2 x^3 + (s_6 + \frac{1}{20} s_2^3) x^2 \\ + (\frac{3}{10} s_2 s_6 + \frac{1}{400} s_2^4) x + (s_{10} + \frac{1}{100} s_2^2 s_6 + \frac{1}{5 \times 10^4} s_2^5) \\ \pm \frac{1}{\sqrt{5}} s_6 y, \quad (f_{D_6} = x^5 - xy^2 + z^2)$$

$$F_{H_4} (x, s) = f_{E_8} (x) + (\dots)$$

$$F_{I_2(m)} = \dots, \quad \text{下 } \cong 2 \text{ の } 1, (\dots) = \dots (d, n) = \dots (d+1) \dots (d+n-1)$$

$$F_{I_2(2k+1)} (x, s) = f_{A_{2k}} + \sum_{j=1}^k \frac{(2k+2-j)j-1}{j!(2k+1)^{j-1}} s_2^j x^{2k+1-2j} + s_{2k+1}$$

$$F_{I_2(2k)_A} (x, s) = f_{A_{2k-1}} + \sum_{j=1}^{k-1} \frac{(2k+1-2j)j-1}{j!(2k)^{j-1}} s_2^j x^{2k-2j} + s_{2k} + \frac{s_2^k}{k(2k)^{k-1}}$$

$$F_{I_2(2k)_D} (x, s) = f_{D_{k+1}} + \sum_{j=1}^{k-1} \frac{(2k+1-2j)j-1}{j!(2k)^{j-1}} s_2^j x^{k-j} + s_{2k} + \frac{s_2^k}{k(2k)^{k-1}}$$

$$F_{I_2(12)_E} (x, s) = f_{E_6} + s_2 x^2 y - \frac{1}{24} s_2^3 x^2 - \frac{1}{576} s_2^4 y + s_{12}$$

$$F_{I_2(18)_E} (x, s) = f_{E_7} + (\dots)$$

$$F_{I_2(30)_E} (x, s) = f_{E_8} + (\dots)$$

このとき、 $F_{W_*} (x, s)$  の判別式は、 $W$  の判別式に等し

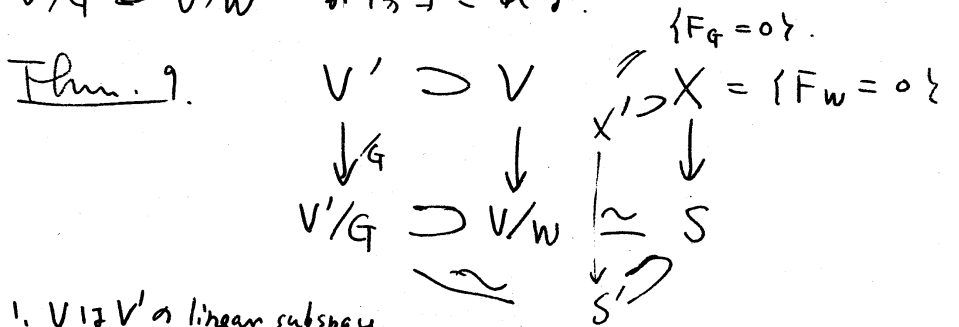
い。  $F_{H_4}, F_{I_2(18)_E}, F_{I_2(30)_E}$  の詳しい形は [3] を参照。 //

この定理は、flat generator system の理論から得る。 [4].

と \$V'\$ に重なることは、上記の变形が \$V'\$ で

$$F_{W*} = f_G + (\dots)$$

の形をして \$V'\$ に \$V\$ である。実は \$W\$ は \$G\$ を "fold" した部分群になっている。\$G\$ の作用する空間を \$V'\$, \$W\$ の作用を \$V\$ とするとき、flat generator system に \$V'\$ 自然な embedding \$V'/G \hookrightarrow V/W\$ が誘導される。



1. \$V\$ は \$V'\$ の linear subspace.
2. embedding \$V'/G \hookrightarrow V/W\$ は linear subspace w.r.t. flat coordinate systems on \$V'/G\$ and \$V/W\$. \$\neq\$

~~...~~

§4. Unitary ref. groups = deformations.

u.g.g.r. に対応する deformation を一覽表とする。  
 Shephard-Todd の番号, 不変式のとり方, 变形, 判別式の形などを示す。いくつかのものは Weyl 群の時と同じく  
 表の意味で Lie 環に対応する。

No.	条件	多項式	判別式	他
$G(r, l, \lambda)$	$r   A_{r-1}$	$x^{r^2} + y^2 + t_r x^{r^2-r} + t_{2r} x^{r^2-2r} + \dots + t_{2r}$	$B_2$	
$[r]^r$	$r   A_{r-1}$	$x^r + y^2 + t_r$	$A_1$	
4	$3, 6   D_4$	$x^3 + y^3 + t_4 x + t_6$	$A_2$	$D_4^{(3)}$
5	$6   E_6, 3   E_6$ $3, 6   F_4$	$x^4 + y^3 + t_6 x^2 + t_{12}$	$B_2$	$F_4^{(1)}$
8	$4   E_6, 4   E_6$ $4   F_4, 8   F_4$	$x^4 + y^3 + t_8 y + t_{12}$	$A_2$	
16	$5, 10   E_8, H_4$	$x^5 + y^3 + t_{20} y + t_{30}$	$A_2$	$E_8^{(1)}$
25	$3   E_6, 6   E_6$	$x^4 + y^3 + t_6 x^2 + t_9 x + t_{12}$	$A_3$	$E_6^{(1)}$
26	$3, 6   E_7$	$x^3 y + y^3 + t_6 y^2 + t_{12} y + t_{18}$	$(B_3) C_3$	$E_7^{(1)}, E_7^{(1)}$
32	$3, 6   E_8$	$x^5 + y^3 + t_{12} x^3 + t_{18} x^2 + t_{24} x + t_{30}$	$A_4$	$E_8^{(1)}$
20	$3, 6   H_4$	$x^5 + y^3 + t_{12} x^3 + a t_{12}^2 x + t_{30}$	$I_2(5)$	
9	$8   E_8$	$x^5 + y^3 + t_8 x^2 y + t_{24} y$	$G_2$	
10	$12   E_8$	$x^5 + y^3 + t_{12} x^3 + t_{24} x$	$B_2$	
12	$4   F_4$	$x^4 + y^3 + t_6 x^2 + t_8 y + \frac{1}{2} t_6^2$	$(\frac{t_6}{2})^3 + (\frac{t_6}{4})^4$	
22	$4   H_4$	$x^5 + y^3 + t_{12} x^3 + t_{20} y + a t_{12}^2 x$	$A t_{12}^3 + B t_{12}^5$	
31	$4   E_8$	$x^5 + y^3 + t_8 x^2 y + t_{12} x^3 + t_{20} y + t_{24} x$	$\rightarrow \text{頁}$	
13		$x^5 + y^3 + t_8 x^2 y + t_{12} x^3 + \dots$	$t_{12} (A t_{12}^2 + B t_{12}^3)$	$E_8^{(2)}, E_8^{(1)}, E_8^{(1)}$

こゝで No.20 と No.22 にあつては  $a$  は  $\frac{9}{20}$  とは  $\frac{1}{5}$  の二つが  
 が一方だけある (未決定).

No. 31 の判別式. 17  $\det M(t) = 0$  2 5 4 2.

$$M(t) = \begin{pmatrix} 2t_8 & 25t_{20} - 12t_8 t_{12} & 30t_{24} - 9t_{12}^2 + \frac{4}{3}t_8^3 & -3t_{12}t_{24} + \frac{4}{3}t_8^2 t_{20} \\ 3t_{12} & 30t_{24} - 9t_{12}^2 + \frac{4}{3}t_8^3 & -35/3 t_8 t_{20} & \frac{2}{3}t_8^2 t_{24} - \frac{25}{3}t_{20}^2 \\ & & & + 2t_8 t_{12} t_{20} - \frac{13}{5}t_8^2 t_{12}^2 \\ 5t_{20} & -2t_8 t_{24} & -3t_{12} t_{24} & -6t_{24}^2 \\ 6t_{24} & -3t_{12} t_{24} + \frac{4}{3}t_8^2 t_{20} & \frac{2}{3}t_8^2 t_{24} - \frac{25}{3}t_{20}^2 + 2t_8 t_{12} t_{20} & \frac{19}{3}t_8 t_{20} t_{24} - 5t_{12} t_{20}^2 \end{pmatrix}$$

このとき  $M$  の行列判別式は相対的に不変 (= 7)

のトール場の <sup>free</sup> basis  $\in \mathbb{Z}^4$ .

尚, 次のことを示す.

$$G(u, v, r) \text{ generated by } k \text{ reflections} \Leftrightarrow \text{mult}_0(\text{判別式}) = k.$$

flat coordinate は, Gauss-Mann connection  $\rightarrow$  記述も, multiplicity の高い場合の  $b$  変換の行列表示 (これは文献が乏しい. 学会情報(24)) の表示を複素の明瞭な形で表示するにも役立つ. これは東大の高橋氏も注意しておられ, 氏は  $\mathbb{Z}^4$  に色々な現象を見出した. これらのことは関係が深い. 今ほどお話し.

[1] Shephard-Todd, Can. J. Math. 6.

(2) Yano, Sci. Rep. Saitama Univ. IX-3, 1980.

(3) Yano, Finite unitary reflection groups and deformation of singularities, in prep.

(4) Saito-Yano-Sekiyuchi, Comm. in Alg. 8(4), 1980.